

# 半導体量子デバイスの開発

樽茶清悟（理化学研究所）

# 誤り耐性量子コンピュータ

量子化学計算

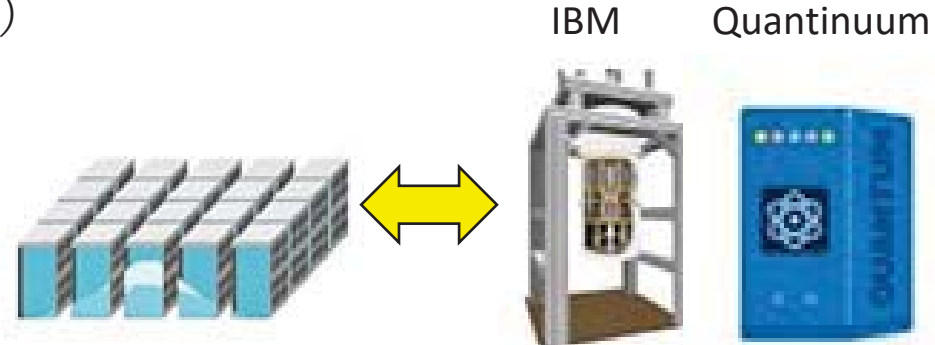
分子の電子状態、構造・反応過程、物性の予測

線形1次方程式 $Ax=b$ を解く量子アルゴリズム

流体・航空工学、制御工学などに応用

量子-HPCハイブリッド（理研）

連携により古典計算機だけでは到達できない計算領域を開拓

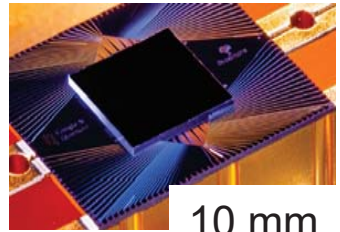


商用 100ビット 20ビット

# ゲート型量子コンピュータの開発

## 超伝導回路

Google  
70 bits



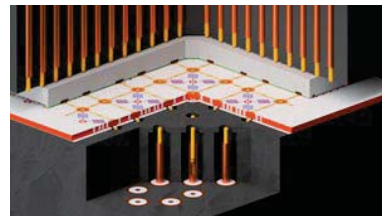
IBM  
“Condor” 1121 bits  
“Osprey” 433 bits



Rigetti 80 bits

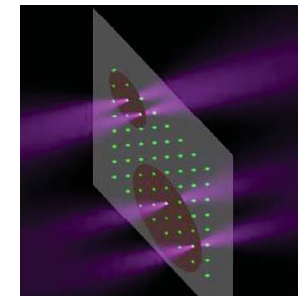
China USTC 176 bits

RIKEN/FUJITSU  
“叡” 64 bits



## 中性原子

Atomic computing  
/Harvard 1180 bits



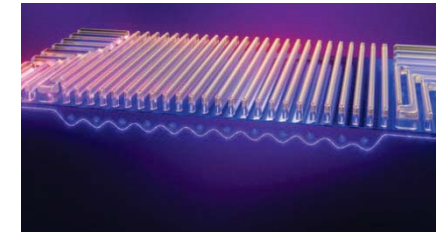
束縛イオン  
IonQ 32 bits  
Quantinuum 56 bits



## 半導体(シリコン)

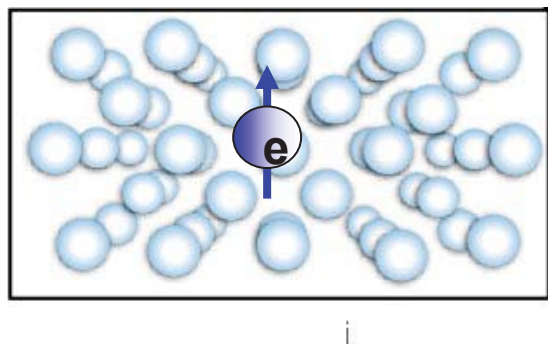
RIKEN, Intel, LETI, IBM,  
TuDelft, UNSW,...

Intel 12 qubits



# なぜシリコン?

$^{28}\text{Si}$

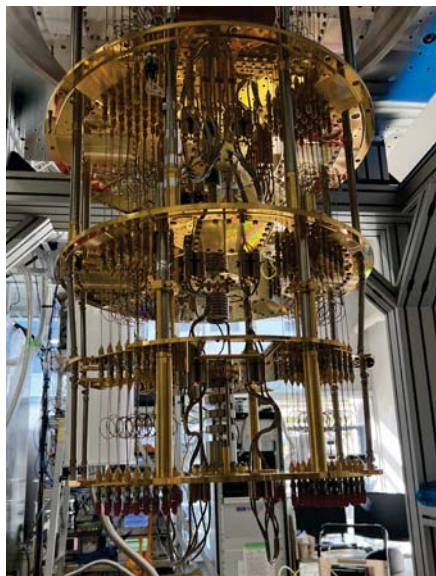


同位体制御 $^{28}\text{Si}$ では、核スピンがごく微量であり、スピンの内在的コヒーレンス時間が長い。

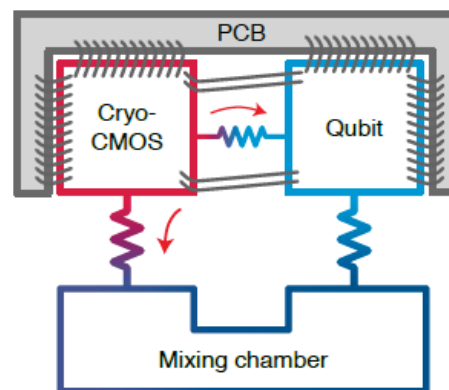
量子ビットデバイスの製造は、CMOSの半導体製造と互換性がある。(Intel, Imec, CEA-Leti の参入)

超伝導に比べ、>1 Kの高温で動作可能である。

- 冷凍機の冷却能力が2桁以上大きく、より多くの量子ビットを駆動できる。
- CMOS低温電子回路と集積化可能である。



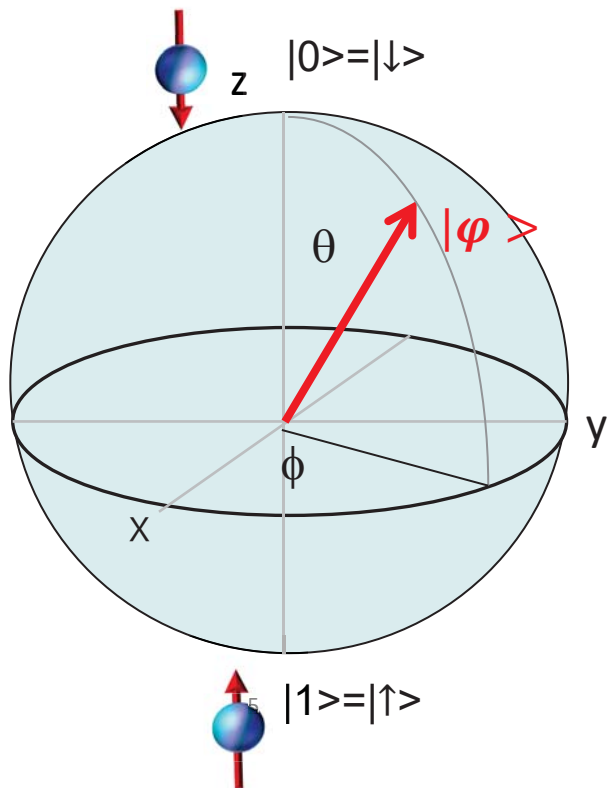
← > 1K  
← < 0.1 K  
Quantum processor



S.J.Pauka et al.  
Nat. Electron. 4, 64 (2021)

# 量子ビット

重ね合わせ状態  $|\varphi\rangle = a|0\rangle + b|1\rangle$  基底  $\{|0\rangle, |1\rangle\}$



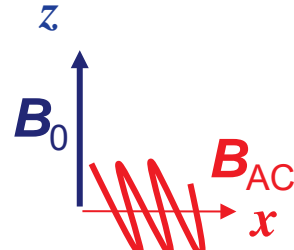
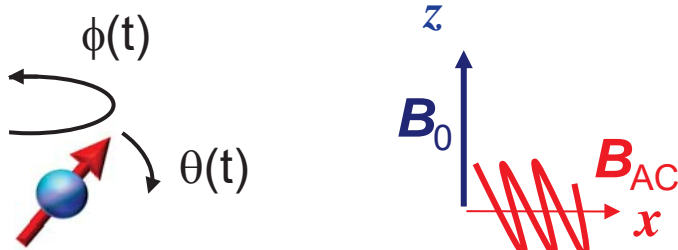
ブロッホ球上の状態ベクトル

$$|\varphi\rangle = \cos \frac{\theta}{2} |0\rangle + e^{i\phi} \sin \frac{\theta}{2} |1\rangle$$

量子ビット操作  
=基底  $|0\rangle, |1\rangle$  の確率振幅  
の操作

# スピノン共鳴を原理とする量子ビット

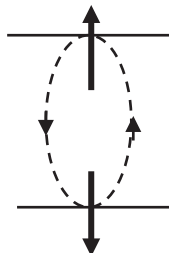
基底  $\{|0\rangle, |1\rangle\} = \{|\downarrow\rangle, |\uparrow\rangle\}$



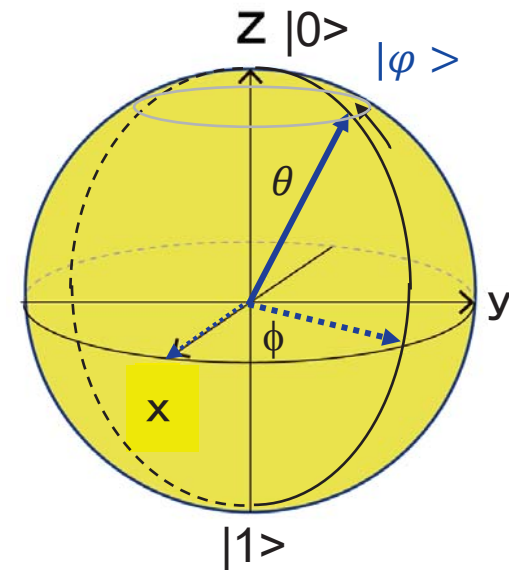
マイクロ波



$B_{AC}$  freq.  $\omega$   
=  $E_{Zeeman}$

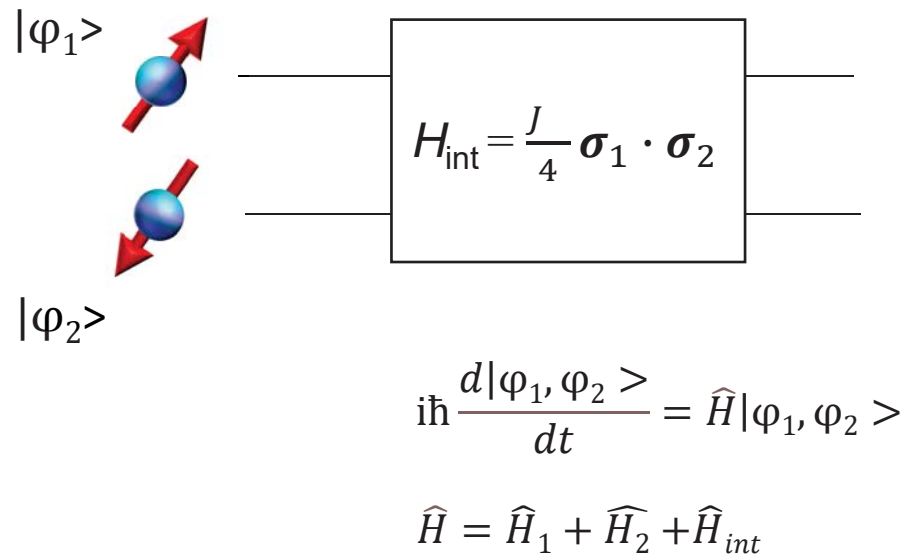
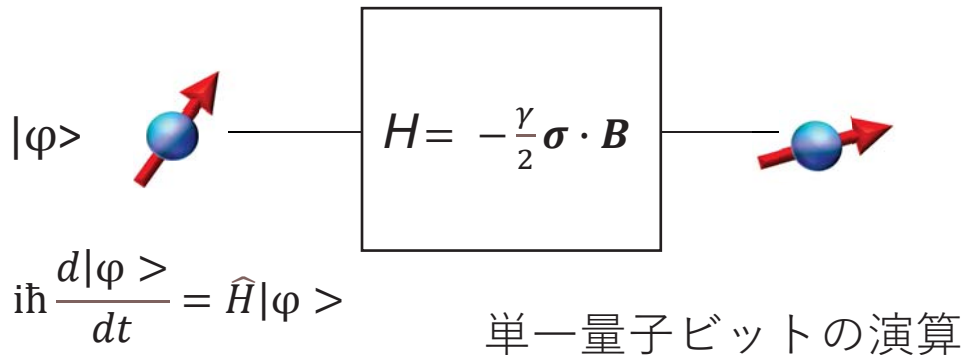


$$E_{Zeeman} = \gamma B_0$$



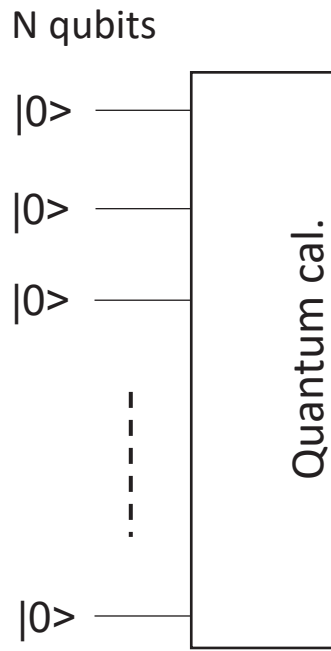
マイクロ波により、2つの回転角度  $\theta$ 、 $\phi$  を制御(交流磁場  $B_{AC}$  の周波数で回転する座標系)

# 2量子ビットの論理演算



# 量子論理演算

## 初期化

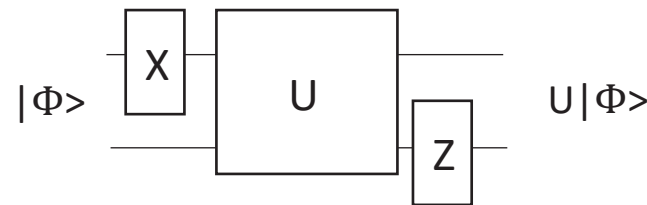


## 読み出し

$N$  qubits

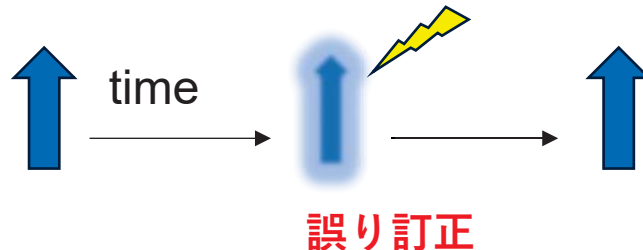


Multi-qubit gates consisting of  
single qubit gates and two-qubit gates



单一量子ビット操作  
2量子ビット操作

Scale-up of qubit devices required for large scale calculation but all operations must complete within dephasing.



Quantum operations  
suffer from errors.

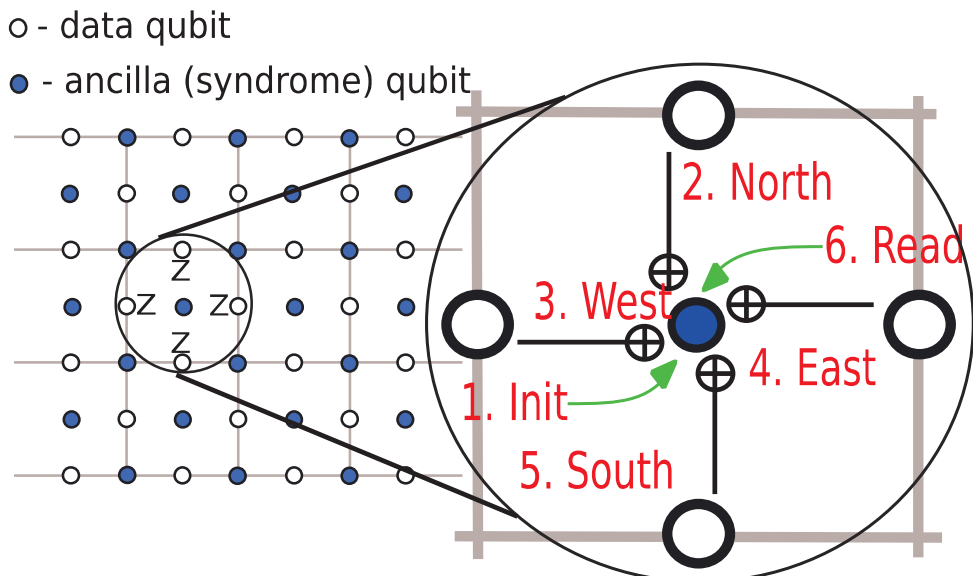
# 誤り耐性量子計算

Challenges in Si:

High fidelity in qubit gates  
Error correction (QEC)  
Scale-up

Fidelity thresholds

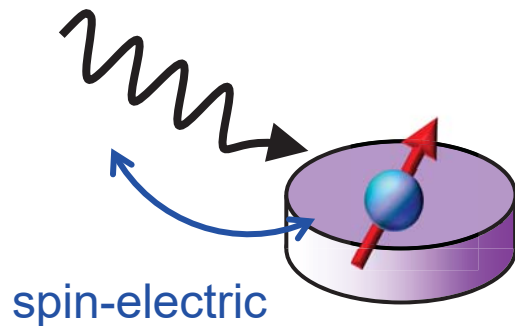
Fidelity (1 qubit) > 99.9%  
Fidelity (2 qubit) > 99%  
Initialization F > 99%  
Readout F > 99%



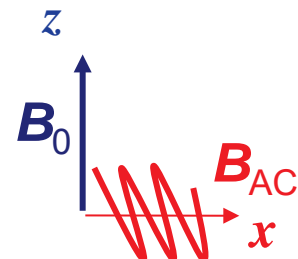
A. G. Fowler *et al.*, Phys. Rev. A (2009)

# 量子ドット中の単一スピンを用いた量子ビットの実装

ESR using Microwave  
induced ac E-field



a.c. electric field of  $\mu$ -wave is converted to a.c. magnetic field through spin-electric coupling mechanism of spin-orbit coupling, on-chip coil,  $\mu$ -magnet,....



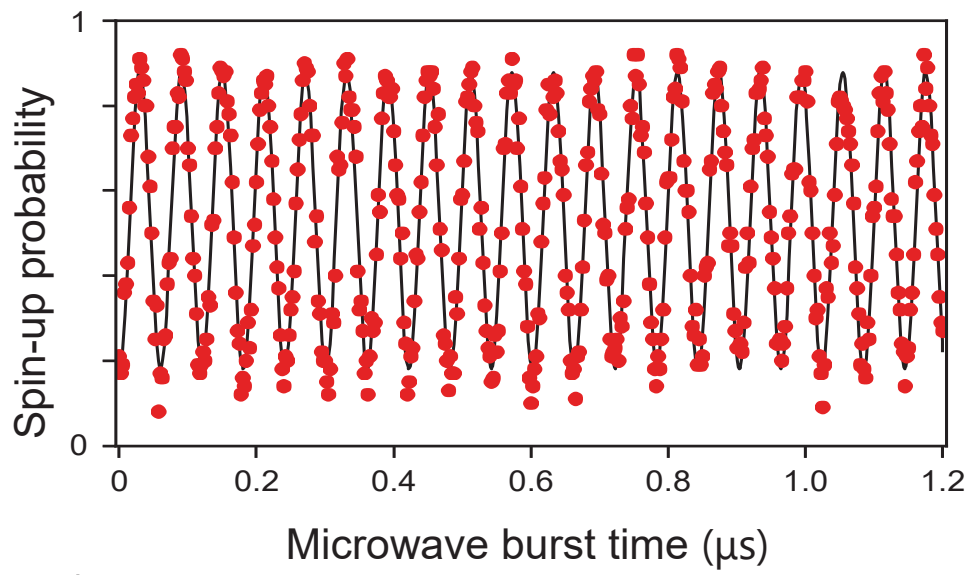
Microwave



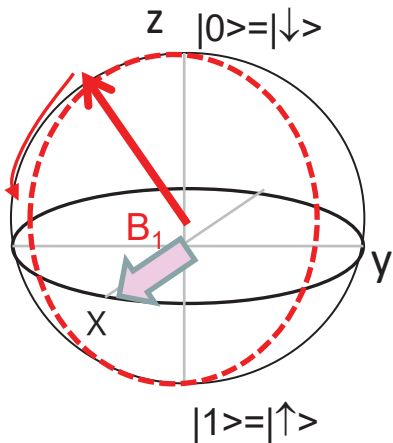
# 微小磁石を用いたスピン量子ビット

J. Yoneda et al., Nat. Nanotechnol. 2018

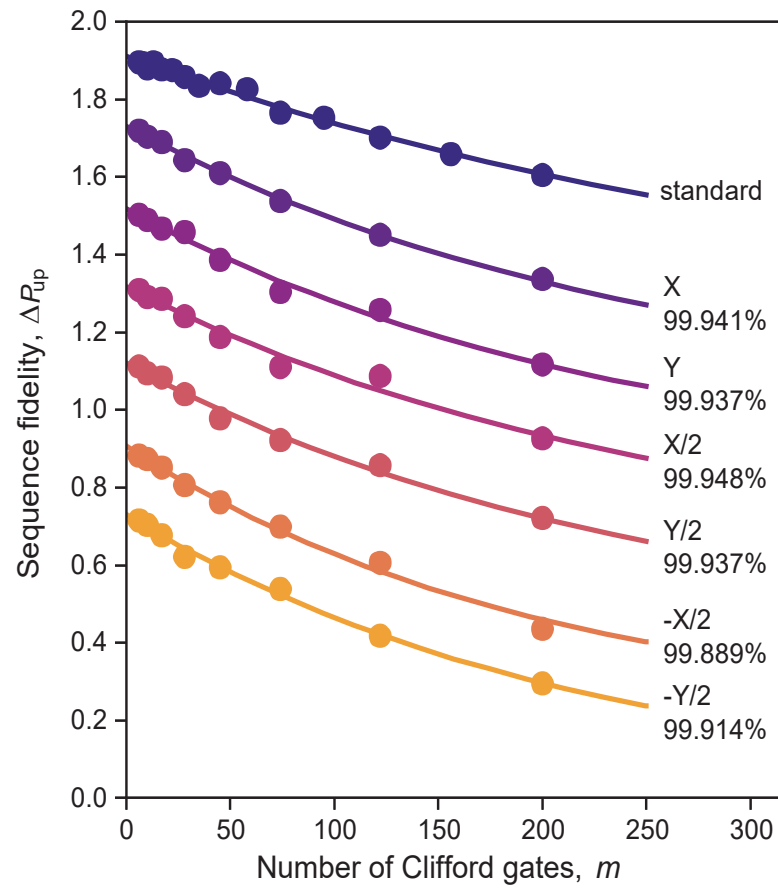
28Si/SiGe Rabi oscillation



$T_{2^*}=20 \mu\text{sec}$



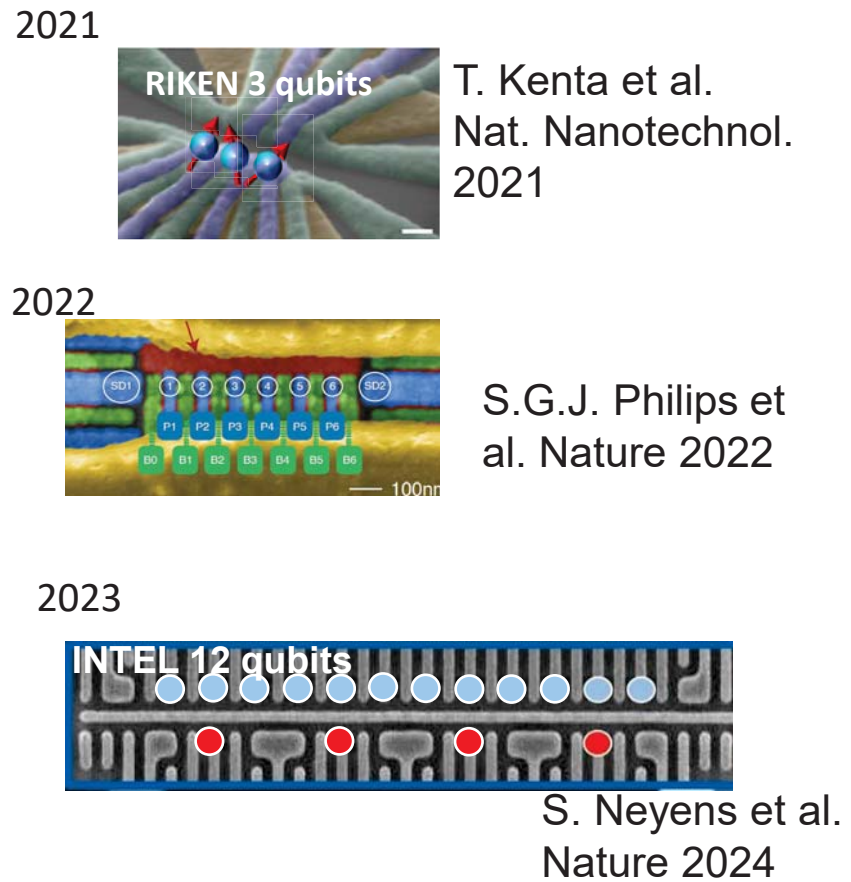
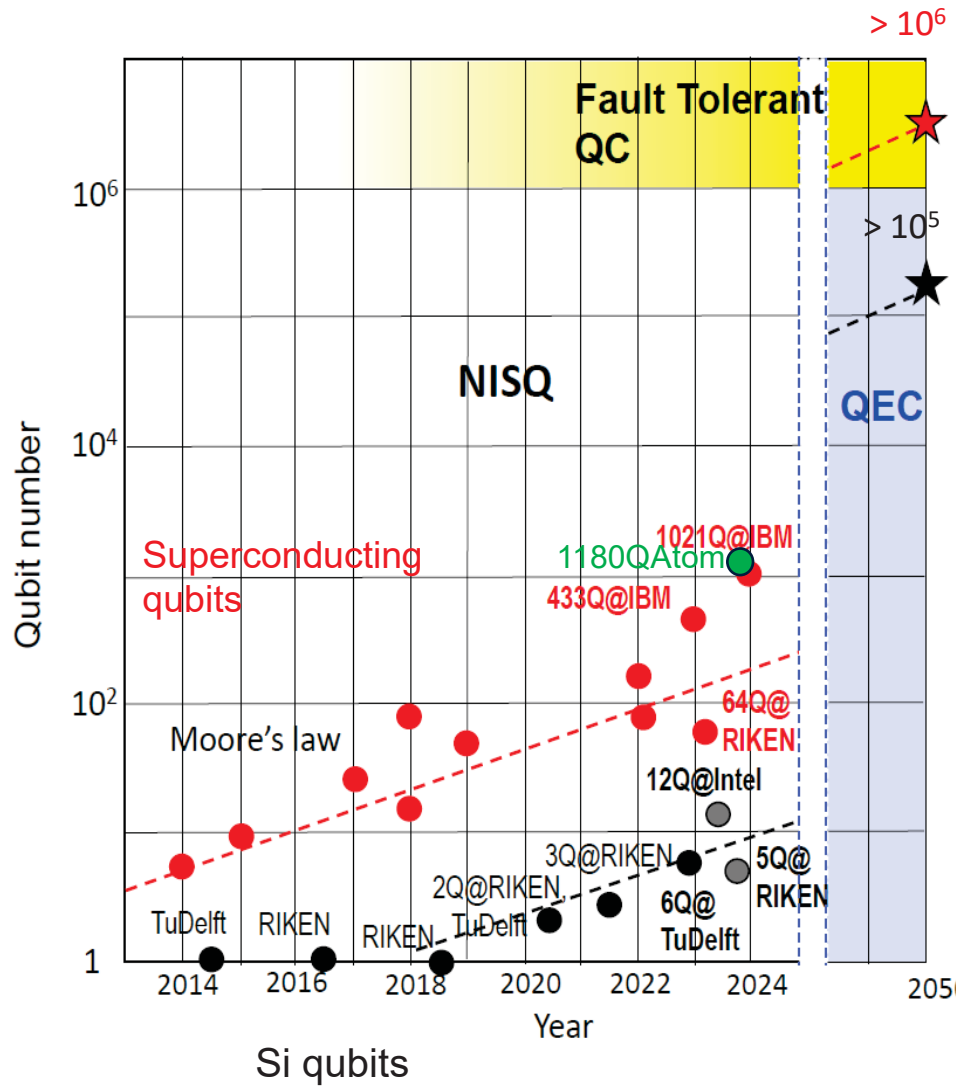
Average fidedlity 99.93 %



$$C = \left\{ I, \pm X, \pm Y, \pm \frac{X}{2}, \pm \frac{Y}{2} \right\}$$

# 年ごとに増加する量子ビットの規模拡大

Si qubit development following that of super-conducting qubit development approx. 6 to 8 years behind. Both seem to follow the Moore's law.  
It may take about 20 years to the goal.



# 今後の課題

誤り耐性量子コンピュータ (FTQC) へ向けて

高忠実度 > 99.999 %

誤り訂正 論理量子ビットの誤り率低減  
(> Break even point)

大規模化 >  $10^6$   
(論理量子ビット > 1000)

技術課題  
低温環境、配線技術、低温電子回路、...